



УДК 612.391.81.35

## ПАЛЬМИТАТЫ ИЗОМЕРНЫХ 15-ОКСИГЕНИРОВАННЫХ $\Delta 8(14)$ -СТЕРИНОВ

© 2004 г. Д. В. Игнатов\*, Ю. И. Прокофьев\*, В. П. Тимофеев\*\*, А. Ю. Мишарин\*\*

\*Научно-исследовательский институт биомедицинской химии им. В.Н. Ореховича  
РАМН, Москва, 119992, Погодинская ул., 10;

\*\*Институт молекулярной биологии им. В.А. Энгельгардта РАН, Москва  
Поступила в редакцию 28.10.2002 г. Принята к печати 10.02.2003 г.

Синтезированы  $3\beta$ -гексадеканоилокси- $5\alpha$ -холест-8(14)-ен-15-он,  $3\alpha$ -гексадеканоилокси- $5\alpha$ -холест-8(14)-ен-15-он,  $15\beta$ -гексадеканоилокси- $5\alpha$ -холест-8(14)-ен- $3\beta$ -ол,  $15\alpha$ -гексадеканоилокси- $5\alpha$ -холест-8(14)-ен- $3\beta$ -ол,  $15\beta$ -гексадеканоилокси- $5\alpha$ -холест-8(14)-ен-3-он и  $15\alpha$ -гексадеканоилокси- $5\alpha$ -холест-8(14)-ен-3-он. Приведены хроматографические характеристики и данные спектров  $^1\text{H}$ -ЯМР полученных соединений.

**Ключевые слова:** ацильные производные стеринов, оксистерины.

### ВВЕДЕНИЕ

15-Оксигенированные производные холестерина и ланостерина проявляют широкий спектр биологической активности в культурируемых клетках и обладают гипохолестеринемическими и антиатерогенными свойствами в организме млекопитающих [1]. Известно, что  $3\beta$ -гидрокси- $5\alpha$ -холест-8(14)-ен-15-он [15-кетостерин (**I**)] образует ацильные производные в плазме крови и в клетках млекопитающих [2–6]. При введении с кормом 15-кетостерина (**I**) его ацильные производные были идентифицированы в составе хиломикрон подопытных животных [5]. Ацильные производные (наряду с полярными метаболитами) образуются при инкубации  $\Delta 8(14)$ ,15-кетостеринов с культурами клеток [7–12]. 15-Кетостероловые эфиры, содержащие остатки различных карбоновых кислот, были получены ацилированием кетостерина (**I**) [13, 14]. В работах [4, 15] было найдено, что токсический эффект 15-кетостерилолеата и его способность подавлять активность HMG-CoA-редуктазы в клетках СНО K1 определяются скоростью внутриклеточного гидролиза эфира и образования свободного кетостерина (**I**).

Можно предположить, что ацилирование свободной гидроксильной группы биологически активного оксистерина остатком жирной кислоты, существенно увеличивающее гидрофобность мо-

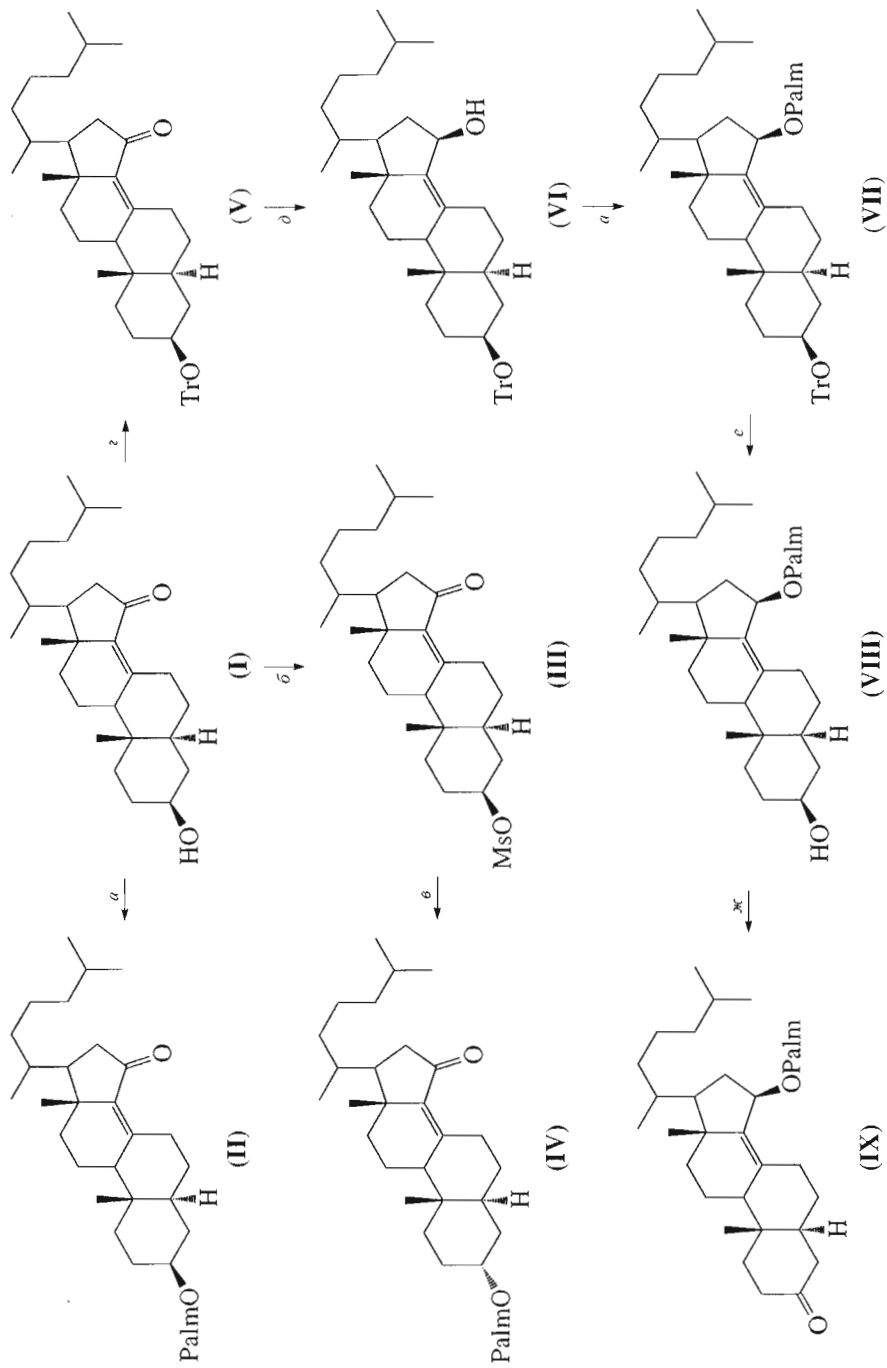
лекулы, должно способствовать связыванию производного оксистерина с клеткой и влиять на процессы его интернализации и последующего внутриклеточного метаболизма. Вследствие этого получение ацильных производных 15-оксигенированных  $\Delta 8(14)$ -стеринов, различающихся положением и конфигурацией заместителей, а также исследование их биологической активности и метаболизма в клетках печени представляют известный интерес. Целью данного сообщения является химический синтез и характеристика пальмитоильных производных изомерных 15-оксигенированных  $\Delta 8(14)$ -стеринов (**III**), (**IV**), (**VIII**), (**IX**), (**XV**), (**XVI**) (схемы 1 и 2).

### РЕЗУЛЬТАТЫ И ОБСУЖДЕНИЕ

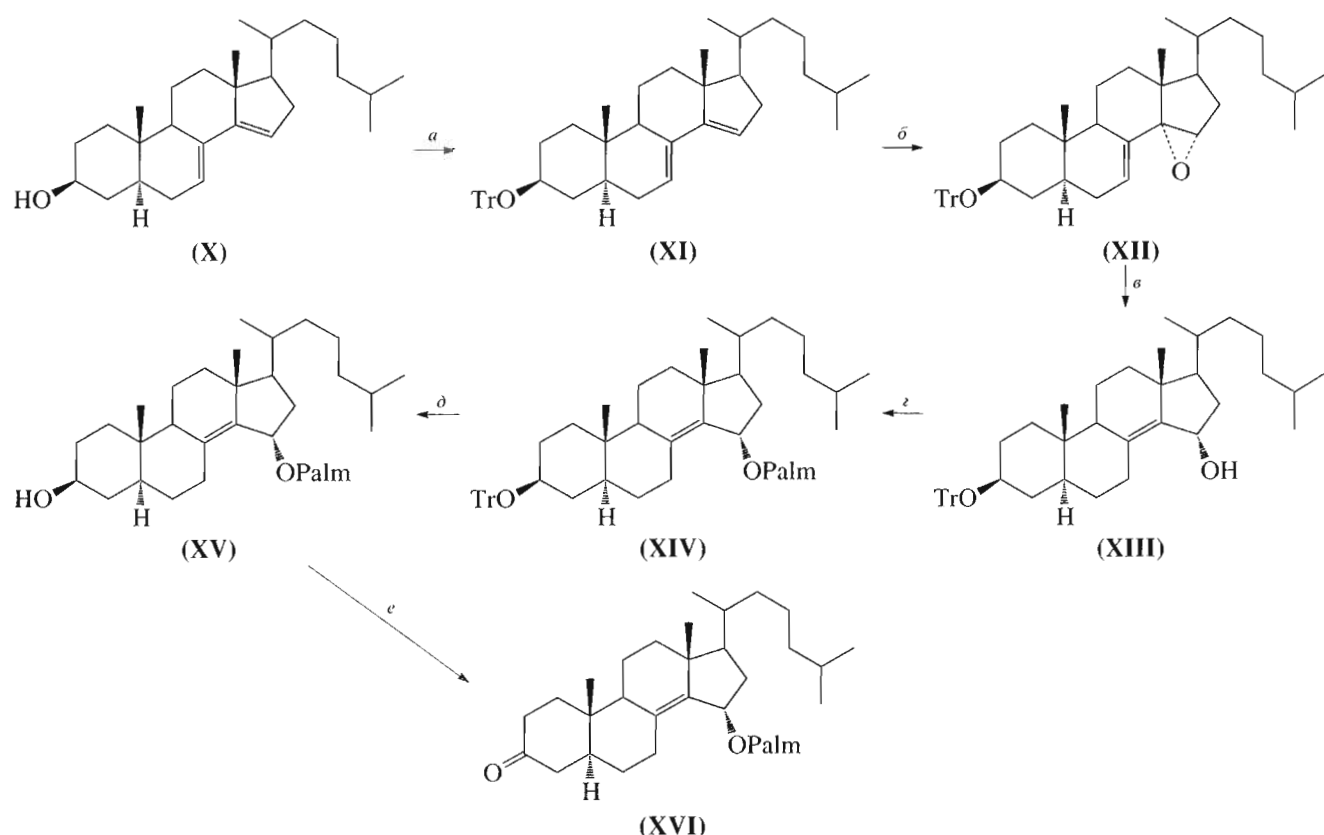
Ацилирование 15-кетостерина (**I**) пальмитиновой кислотой в присутствии TPS и DMAP или *N*-метилилимидазола по методу [14] приводило к пальмитату (**II**) (схема 1) с выходами 75–85%. Для получения  $3\alpha$ -пальмитоилокси- $5\alpha$ -холест-8(14)-ен-15-она (**IV**) 15-кетостерин (**I**) обрабатывали MsCl в пиридине, а затем  $3\beta$ -мезилат (**III**) превращали в  $3\alpha$ -пальмитат (**IV**) реакцией с пальмитатом цезия [16, 17]. Проведение реакции в DMF [16] дало лучший результат (выход 72% при кипячении в течение 40 мин) по сравнению с модифицированной методикой [17] [после 12 ч кипячения с избыtkом пальмитата цезия в толуоле в присутствии 0.5 экв. DMAP прореагировало лишь 15% мезилата (**III**)]. Щелочной гидролиз пальмитата (**IV**) приводил к описанному ранее [18]  $3\alpha$ -гидрокси- $5\alpha$ -холест-8(14)-ен-15-ону, что однозначно подтверждало  $3\alpha$ -конфигурацию соединения (**IV**).

Сокращения: CPBA – *m*-хлорнадбензойная кислота; DMAP – *N,N*-диметиламинопиридин; DMF – диметилформамид; HMG-CoA – гидроксиметилглутарил коэнзим А; НМРТА – гексаметилфосфотриамид; Ms – мезил(метансульфонил); Palm – пальмитоил (гексадеканоил); TPS – 2,4,6-триизопропилбензолсульфонилхлорид; Tr – тритил(трифенилметил).

\* Автор для переписки (эл. почта: misharin@ibmh.msk.su).



**Схема 1.** а)  $\text{CH}_3(\text{CH}_2)_{14}\text{COOH}$ , TPS,  $N$ -метилимидазол/толуол; б)  $\text{MsCl/Py}$ ; в)  $\text{LiAlH}_4/\text{Et}_2\text{O}$ ; г)  $\text{LiAlH}_4/\text{Py}$ ; д)  $90\% \text{ HCOOH}$ ; е)  $\text{CrO}_3\text{-Py/CH}_2\text{Cl}_2$ .



**Схема 2.** *a)*  $\text{TrCl}/\text{Py}$ ; *b)*  $\text{CPBA}, \text{NaHCO}_3/\text{Et}_2\text{O}$ ; *c)*  $\text{LiAlH}_4/\text{Et}_2\text{O}$ ; *d)*  $\text{CH}_3(\text{CH}_2)_{14}\text{COOH}$ , TPS, *N*-метилимидазол/толуол; *e)* 90%  $\text{HCOOH}$ ; *f)*  $\text{CrO}_3-\text{Py}/\text{CH}_2\text{Cl}_2$ .

Следующей задачей было введение остатка пальмитиновой кислоты в положение  $15\beta$ . Для этого гидроксильную группу кетостерина (**I**) сначала защищали тритилярованием: тритилярованный кетостерин (**V**) был получен с выходом 75% обработкой кетостерина (**I**) избытком  $\text{TrCl}$  в кипящем пиридине. Восстановление кетогруппы в тритилярованном стерине (**V**)  $\text{LiAlH}_4$ , как было показано нами ранее [19], проходило стереоспецифично и с количественным выходом приводило к тритиальному производному  $\Delta 8(14),15\beta$ -гидроксистерина (**VI**). Ацилирование соединения (**VI**) пальмитиновой кислотой в присутствии TPS и *N*-метилимидазола [14] дало соответствующий пальмитат (**VII**) с выходом 74%. Удаление тритильной группы из соединения (**VII**) приводило к  $15\beta$ -пальмитату  $3\beta$ -стерина (**VIII**) с выходом 66% в расчете на исходное соединение (**VI**).

Для получения  $15\alpha$ -пальмитоилокси- $5\alpha$ -холест-8(14)-ен- $3\beta$ -ола мы изначально планировали использовать  $S_{\text{N}2}$ -замещение  $15\beta$ -мезилоксигруппы в  $3\beta$ -тритилокси- $15\beta$ -мезилокси- $5\alpha$ -холест-8(14)-ене на пальмитоилоксигруппу.  $3\beta$ -Тритилокси- $15\beta$ -мезилокси- $5\alpha$ -холест-8(14)-ен был действительно получен из соединения (**VI**) с 79% выходом [<sup>1</sup>H-ЯМР-спектр: 0.695 (3 H, с, H18), 0.795 (6 H, д, *J* 6.6,

H26, H27), 0.927 (3 H, д, *J* 6.6, H21), 0.965 (3 H, с, H19), 3.341 (1 H, м, H3), 3.350 (3 H, с,  $\text{CH}_3\text{S}$ ), 6.397 (1 H, м, H15), 7.180–7.550 (15 H, м, тритил)]. Однако при нагревании в DMF или НМРТА он быстро давал продукт элиминирования мезилоксигруппы и с количественным выходом превращался в  $3\beta$ -тритилокси- $5\alpha$ -холест-8(14),15-диен. Обработка последнего 90%  $\text{HCOOH}$  приводила к  $3\beta$ -гидрокси- $5\alpha$ -холест-8(14),15-диену (<sup>1</sup>H-ЯМР-спектр: 0.759 (3 H, с, H18), 0.862 (6 H, д, *J* 6.6, H26, H27), 0.942 (3 H, д, *J* 6.6, H21), 0.963 (3 H, с, H19), 3.627 (1 H, м, H3), 5.894 (1 H, д, *J*<sub>15, 16</sub> 8.0, H15), 6.326 (1 H, дд, J<sub>15, 16</sub> 8.0, J<sub>16, 17</sub> 6.5, H16).

Альтернативная схема (см. схему 2) получения  $15\alpha$ -пальмитоилокси- $5\alpha$ -холест-8(14)-ен- $3\beta$ -ола (**XV**), давшая положительный результат, основывалась на известном восстановлении  $\text{LiAlH}_4$  стериновых  $\Delta 7,14\alpha,15\alpha$ -эпоксидов в  $\Delta 8(14),15\alpha$ -гидроксистерины [20].  $3\beta$ -Трифенилметокси- $5\alpha$ -холеста-7,14-диен (**XI**), полученный с 82% выходом тритилярованием диена (**X**), обрабатывали CPBA в эфирном растворе в присутствии сухого  $\text{NaHCO}_3$ , а затем полученный эпоксид (**XII**) без выделения восстанавливали  $\text{LiAlH}_4$  в эфире. После разделения продуктов восстановления  $3\beta$ -тритилокси- $5\alpha$ -холест-8(14)-ен- $15\alpha$ -ол (**XIII**) был выделен с

**Таблица 1.** Данные высокоэффективной ТСХ соединений (II), (IV), (VIII), (IX), (XV), (XVI)

Соединение	Значения $R_f$ в системах					
	Гексан–EtOAc (10 : 1)	Гексан–EtOAc (4 : 1)	Гексан–ацетон (10 : 1)	Гексан–ацетон (5 : 1)	CHCl <sub>3</sub> –ацетон (10 : 1)	Толуол–EtOAc (10 : 1)
(II)	0.38	0.71	0.64	0.76	0.99	0.77
(IV)	0.44	0.75	0.66	0.77	0.99	0.81
(VIII)	0.09	0.30	0.15	0.29	0.79	0.31
(IX)	0.24	0.53	0.31	0.51	0.98	0.80
(XV)	0.06	0.26	0.14	0.23	0.72	0.30
(XVI)	0.21	0.51	0.26	0.42	0.95	0.74

**Таблица 2.** Химические сдвиги в спектрах <sup>1</sup>Н-ЯМР соединений (II), (IV), (VIII), (IX), (XV), (XVI)

Соединение	18Н	26Н; 27Н	19Н	21Н	15Н	3Н	7Н	Протоны ацильного остатка
(II)	0.721 с	0.852 (д, <i>J</i> 6.6)	0.960 с	0.987 (д, <i>J</i> 6.6)	—	4.730 м	4.126 м	0.870 (т, <i>J</i> 7.0), 1.242 (ш с); 2.249 (т, <i>J</i> 7.0)
(IV)	0.694 с	0.857 (д, <i>J</i> 6.6)	0.948 с	0.968 (д, <i>J</i> 6.6)	—	5.046 м	4.137 м	0.872 (т, <i>J</i> 7.0), 1.242 (ш с); 2.302 (т, <i>J</i> 7.0)
(VIII)	0.705 с	0.849 (д, <i>J</i> 6.6)	0.975 с	0.920 (д, <i>J</i> 6.6)	5.544 м	3.638 м	2.40–2.55 м	0.870 (т, <i>J</i> 7.0), 1.242 (ш с); 2.252 (т, <i>J</i> 7.0)
(IX)	0.831 с	0.860 (д, <i>J</i> 6.6)	0.998 с	0.949 (д, <i>J</i> 6.6)	5.540 м	—	2.45–2.60 м	0.866 (т, <i>J</i> 7.0), 1.242 (ш с); 2.252 (т, <i>J</i> 7.0)
(XV)	0.688 с	0.838; 0.841 (д, <i>J</i> 6.6)	0.867 с	0.940 (д, <i>J</i> 6.6)	5.771 м	3.649 м	2.15–2.40 м	0.846 (т, <i>J</i> 7.0), 1.242 (ш с); 2.275 (т, <i>J</i> 7.0)
(XVI)	0.850 с	0.851; 0.858 (д, <i>J</i> 6.6)	0.869 с	0.904 (д, <i>J</i> 6.6)	5.789 м	—	2.45–2.60 м	0.866 (т, <i>J</i> 7.0), 1.242 (ш с); 2.270 (т, <i>J</i> 7.0)

\* В скобках приведена форма сигнала и значение КССВ в герцах.

выходом 39% в расчете на тритиированный диен (XI). Ацилирование 15 $\alpha$ -гидроксистерина (XIII) пальмитиновой кислотой и удаление тритильной группы в соединении (XIV) проводили в условиях, описанных выше для получения 15 $\beta$ -изомера (VIII). Выход 15 $\alpha$ -пальмитата (XV) составил 63% в расчете на исходный (XIII).

Для подтверждения конфигурации заместителя при C15 в соединениях (VIII) и (XV) они были подвергнуты щелочному гидролизу, и полученные стерины сравнивались с известными 3 $\beta$ ,15 $\alpha$ -дигидрокси-5 $\alpha$ -холест-8(14)-еном и 3 $\beta$ ,15 $\beta$ -дигидрокси-5 $\alpha$ -холест-8(14)-еном [21] по спектрам <sup>1</sup>Н-ЯМР и по хроматографической подвижности. Окисление 3 $\beta$ -гидроксильной группы в 15-пальмитатах (VIII) и (XV) комплексом CrO<sub>3</sub>–Py приводило к 3-кетостерил-15-пальмитатам (IX) и (XVI) соответственно.

Хроматографические характеристики соединений (II), (IV), (VIII), (IX), (XV) и (XVI) приведены в табл. 1, данные спектров <sup>1</sup>Н-ЯМР – в табл. 2.

## ЭКСПЕРИМЕНТАЛЬНАЯ ЧАСТЬ

<sup>1</sup>Н-ЯМР-спектры регистрировали на приборе AMX-III-400 (Bruker) в дейтерохлороформе. Аналитическую ТСХ проводили на пластинках HPTLC Kieselgel F<sub>254</sub> фирмы Merck; обнаружение продуктов проводили в свете ультрафиолетовой лампы (фильтр 254 нм) и опрыскиванием 3% раствором молибдата аммония в 5% водной H<sub>2</sub>SO<sub>4</sub> с последующим нагреванием. Препаративную ТСХ проводили на пластинках PSC Kieselgel F<sub>254</sub> фирмы Merck; колоночную хроматографию – на силикагеле L (40–100 мкм) фирмы Chemapol.

Химические реактивы получены от фирм Aldrich и Merck, растворители очищены стандартными методами. 3 $\beta$ -Гидрокси-5 $\alpha$ -холест-8(14)-ен-15-он (I) и 3 $\beta$ -гидрокси-5 $\alpha$ -холеста-7,14-диен (X) синтезированы по общей схеме [22] со следующими изменениями: изомеризация 3 $\beta$ -бензоилоксихолеста-5,7-диена в 3 $\beta$ -бензоилокси-5 $\alpha$ -холеста-7,14-диен проводилась по модифицированной процедуре [23],

а удаление бензоильных групп в  $3\beta$ -бензоилокси- $5\alpha$ -холеста-7,14-диене и  $3\beta$ -бензоилокси- $5\alpha$ -холест-8(14)-ен-15-оне – щелочным гидролизом.  $3\beta,15\alpha$ -Дигидрокси- $5\alpha$ -холест-8(14)-ен и  $3\beta,15\beta$ -дигидрокси- $5\alpha$ -холест-8(14)-ен были получены восстановлением  $3\beta$ -бензоилокси- $5\alpha$ -холест-8(14)-ен-15-она по методу [21].

**$3\beta$ -Гексадеканоилокси- $5\alpha$ -холест-8(14)-ен-15-он (II).** Смесь кетостерина (I) (400 мг, 1 ммоль) и пальмитиновой кислоты (512 мг, 2.0 ммоль) высушивали упариванием с безводными пиридином и толуолом, прибавляли DMAP (218 мг, 5 ммоль), смесь охлаждали до  $0^{\circ}\text{C}$ , вносили TPS (758 мг, 2.5 ммоль), перемешивали 15 мин при комнатной температуре, разбавляли 50 мл толуола, прибавляли 20 мл насыщенного раствора  $\text{NaHCO}_3$ , толуольный раствор промывали насыщенным  $\text{Na}_2\text{SO}_4$  ( $2 \times 15$  мл), сушили  $\text{Na}_2\text{SO}_4$ , упаривали и хроматографировали на колонке с силикагелем ( $2.5 \times 30$  см) в смеси бензол–EtOAc (19 : 1). Продукт перекристаллизовывали из ацетона. Кристаллический продукт (II) не имел четкой т. пл. Выход 490 мг (75%), хроматографические характеристики см. в табл. 1,  $^1\text{H}$ -ЯМР-спектр – в табл. 2.

При использовании в качестве катализатора ацилирования *N*-метилимидазола выход соединения (II) составил 85%.

**$3\beta$ -Метансульфонилокси- $5\alpha$ -холест-8(14)-ен-15-он (III).** Кетостерин (I) (400 мг, 1 ммоль) растворяли в 5 мл сухого пиридина и затем при охлаждении прибавляли 0.2 мл  $\text{MsCl}$ . Смесь перемешивали 4 ч при комнатной температуре, затем прибавляли 20 мл насыщенного раствора  $\text{NaHCO}_3$ , смесь перемешивали 2 ч и экстрагировали хлороформом ( $3 \times 15$  мл). Хлороформный экстракт промывали водой ( $2 \times 5$  мл), сушили  $\text{Na}_2\text{SO}_4$ , упаривали, остаток растворяли в кипящем хлороформе и прибавляли кипящий метанол до помутнения. После выдерживания 24 ч при  $0^{\circ}\text{C}$  получали бесцветные кристаллы с т. пл.  $146^{\circ}\text{C}$ , выход 440 мг (0.92 ммоль, 92%);  $^1\text{H}$ -ЯМР-спектр: 0.730 (3 Н, с, H18), 0.854 (6 Н, д,  $J$  6.6, 26-CH<sub>3</sub>, H27), 0.962 (3 Н, с, H19), 0.988 (3 Н, д,  $J$  6.6, H21), 2.996 (3 Н, с, CH<sub>3</sub>S), 4.136 (1 Н, м, H7), 4.656 (1 Н, м, H3).

**$3\alpha$ -Гексадеканоилокси- $5\alpha$ -холест-8(14)-ен-15-он (IV).** Мезилат кетостерина (III) (230 мг, 0.5 ммоль) высушивали упариванием с сухим толуолом, растворяли в 10 мл безводного DMF, прибавляли высущенную соль  $\text{CH}_3(\text{CH}_2)_{14}\text{COOCs}$  (1165 мг, 3 ммоль), и смесь кипятили 40 мин, контролируя прохождение реакции по ТСХ в системе гексан–EtOAc (10 : 1). Затем смесь разбавляли 30 мл толуола, промывали водой ( $3 \times 10$  мл). Толуольный раствор сушили  $\text{Na}_2\text{SO}_4$ , растворитель упаривали, остаток хроматографировали на колонке ( $2.5 \times 30$  см) с силикагелем, элюируя продукт смесью гексан–EtOAc (10 : 1). Продукт (IV) перекристаллизовывали из ацетонитрила. Крис-

таллический продукт (IV) не имел четкой т. пл. Выход 470 мг (72%), хроматографические характеристики см. в табл. 1,  $^1\text{H}$ -ЯМР-спектр – в табл. 2.

**$3\beta$ -Трифенилметокси- $5\alpha$ -холест-8(14)-ен-15-он (V).** Смесь кетостерина (I) (800 мг, 2 ммоль), TrCl (840 мг, 3 ммоль) и 30 мл сухого пиридина кипятили 1 ч, затем прибавляли TrCl (280 мг, 1 ммоль) и кипятили еще 2 ч. Затем смесь охлаждали, выливали при перемешивании в 50 мл насыщенного раствора  $\text{NaHCO}_3$ , перемешивали 30 мин и экстрагировали толуолом ( $3 \times 30$  мл). Толуольный раствор промывали насыщенным раствором  $\text{Na}_2\text{SO}_4$  ( $2 \times 25$  мл), сушили  $\text{Na}_2\text{SO}_4$ , упаривали и остаток хроматографировали на колонке с силикагелем ( $2.5 \times 30$  см), элюируя продукт смесью гексан–EtOAc (15 : 1). Продукт (V) перекристаллизовывали из смеси ацетон–метанол (1 : 2); выход 480 мг (75%); т. пл.  $168^{\circ}\text{C}$ ;  $^1\text{H}$ -ЯМР-спектр: 0.633 (3 Н, с, H18), 0.834 (6 Н, д,  $J$  6.6, H26, H27), 0.911 (3 Н, с, H19), 0.949 (3 Н, д,  $J$  6.6, H21), 3.410 (1 Н, м, H3), 4.018 (1 Н, м, H7), 7.18–7.50 (15 Н, м, тритил).

**$3\beta$ -Трифенилметокси- $5\alpha$ -холест-8(14)-ен-15- $\beta$ -ол (VI).** К суспензии 150 мг  $\text{LiAlH}_4$  в 15 мл безводного Et<sub>2</sub>O при  $0^{\circ}\text{C}$  по каплям прибавляли раствор 640 мг (1 ммоль) соединения (V) в 5 мл безводного Et<sub>2</sub>O. Смесь перемешивали 30 мин при  $20^{\circ}\text{C}$ , избыток  $\text{LiAlH}_4$  разлагали водой при охлаждении, водный слой экстрагировали эфиром ( $4 \times 20$  мл), объединенный эфирный экстракт промывали водой, сушили NaOH и упаривали досуха. Выделяли 640 мг стеклообразной массы соединения (VI), застекленной при стоянии; выход количественный;  $^1\text{H}$ -ЯМР-спектр: 0.663 (3 Н, с, H18), 0.834 и 0.839 (6 Н, 2 д, H26, H27), 0.895 (3 Н, д,  $J$  6.6, H21), 0.992 (3 Н, с, H19), 2.625 (1 Н, м, H7), 3.412 (1 Н, м, H3), 4.572 (1 Н, м, H15), 7.180–7.550 (15 Н, м, тритил).

**$3\beta$ -Трифенилметокси-15 $\beta$ -гексадеканоилокси- $5\alpha$ -холест-8(14)-ен (VII) и 15 $\beta$ -гексадеканоилокси- $5\alpha$ -холест-8(14)-ен-3 $\beta$ -ол (VIII).** Смесь стерина (VI) (129 мг, 0.2 ммоль) и пальмитиновой кислоты (128 мг, 0.5 ммоль) высушивали упариванием с безводными пиридином и толуолом, растворяли в 5 мл безводного толуола, прибавляли 0.5 мл (6.1 ммоль) *N*-метилимидазола, вносили TPS (182 мг, 0.6 ммоль) и перемешивали 30 мин при комнатной температуре. Смесь разбавляли 25 мл толуола, прибавляли 10 мл насыщенного раствора  $\text{NaHCO}_3$ , толуольный раствор промывали насыщенным раствором  $\text{Na}_2\text{SO}_4$  ( $2 \times 5$  мл), сушили  $\text{Na}_2\text{SO}_4$ , упаривали и остаток растворяли в 10 мл  $\text{CHCl}_3$ .

Аликвоту хлороформного раствора (2 мл) разделяли препаративной ТСХ в системе гексан–EtOAc (10 : 1). Соединение (VII), дававшее положительную реакцию на тритильную группу, выделяли в виде прозрачной пленки; выход 23 мг

(29 мкмоль, 74%);  $^1\text{H}$ -ЯМР-спектр: 0.660 (3 Н, с, H18), 0.835 и 0.840 (6 Н, 2 д, H26, H27), 0.871 (3 Н, т, J 7.0, CH<sub>3</sub>, пальмитоил), 0.895 (3 Н, д, J 6.6, H21), 0.932 (3 Н, с, H19), 1.190–1.290 (ушир. с, CH<sub>2</sub>, пальмитоил), 3.412 (1 Н, м, H3), 5.482 (1 Н, м, H15), 7.180–7.550 (15 Н, м, тритил).

Оставшийся хлороформный раствор (8 мл) упаривали досуха, к остатку при перемешивании прибавляли 10 мл 90% HCOOH и по каплям эфир до растворения осадка. Смесь перемешивали 30 мин, упаривали досуха, повторно упаривали с добавлением воды, и остаток хроматографировали на колонке с силикагелем (2.5 × 30 см) в системе гексан–EtOAc (4 : 1). 15β-Гексадеканоилокси-5α-холест-8(14)-ен-3β-ол (**VIII**), содержащий смесь пальмитиновой кислоты, рехроматографировали на пластинке в системе гексан–ацетон (5 : 1). Выход соединения (**VIII**) составлял 76 мг [106 мкмоль, 66% в расчете на исходный (**VI**)]. Хроматографические характеристики см. в табл. 1,  $^1\text{H}$ -ЯМР спектр – в табл. 2.

**3β-Трифенилметокси-5α-холеста-7,14-диен (**XI**).** Смесь соединения (**X**) (384 мг, 1.0 мкмоль), TrCl (420 мг, 1.5 мкмоль) и 20 мл сухого пиридина кипятили 1 ч, прибавляли TrCl (140 мг, 0.5 мкмоль), кипятили еще 1 ч, затем выливали в 30 мл насыщенного раствора NaHCO<sub>3</sub>, перемешивали 30 мин и экстрагировали толуолом (3 × 30 мл). Толуольный раствор промывали насыщенным раствором Na<sub>2</sub>SO<sub>4</sub> (2 × 25 мл), сушили Na<sub>2</sub>SO<sub>4</sub>, упаривали, остаток хроматографировали на колонке с силикагелем (2.5 × 30 см), элюируя продукт смесью гексан–EtOAc (15 : 1). Соединение (**XI**) (513 мг, 0.82 мкмоль, 82%) выделяли в виде бесцветной стеклообразной массы. После перекристаллизации из смеси ацетон–метанол (3 : 1) получали бесцветные кристаллы с т. пл. 114–116°C;  $^1\text{H}$ -ЯМР-спектр: 0.720 (3 Н, с, H18), 0.780 (3 Н, с, H19), 0.858 (6 Н, д, J 6.6, H26, H27), 0.894 (3 Н, д, J 6.6, H21), 3.366 (1 Н, м, H3), 5.422 (1 Н, м, H15), 5.651 (1 Н, м, H7), 7.18–7.55 (15 Н, м, тритил).

**3β-Трифенилметокси-14α,15α-оксидо-5α-холест-7-ен (**XII**) и 3β-трифенилметокси-5α-холест-8(14)-ен-15α-ол (**XIII**).** К раствору тритилированного диена (**XI**) (375 мг, 0.6 мкмоль) в 20 мл сухого эфира прибавляли 0.50 г сухого NaHCO<sub>3</sub>, затем вносили CPBA (170 мг, 1.0 мкмоль), и смесь перемешивали при 0°C 20 мин. Эфирный раствор дегантировали, осадок промывали эфиром (2 × 20 мл). Объединенный эфирный экстракт промывали при 0°C 10 мл насыщенного раствора Na<sub>2</sub>SO<sub>3</sub>, сушили MgSO<sub>4</sub> и упаривали до 10 мл. В  $^1\text{H}$ -ЯМР-спектре неочищенного продукта (**XII**): 5.69 (м, H7); 3.69 (ушир. с, H15). Эфирный раствор, содержащий эпоксид (**XII**), по каплям прибавляли к перемешиваемой суспензии 100 мг LiAlH<sub>4</sub> в 15 мл сухого Et<sub>2</sub>O. Смесь перемешивали 30 мин, охлаждали до 0°C, избыток LiAlH<sub>4</sub> разлагали ледяной водой,

эфирный слой дегантировали, и водный слой экстрагировали эфиром (4 × 15 мл). Объединенный эфирный экстракт сушили MgSO<sub>4</sub>, упаривали и остаток хроматографировали на колонке с силикагелем (3.5 × 15 см), элюируя продукт смесью гексан–EtOAc (4 : 1). Соединение (**XIII**) (143 мг, 0.23 мкмоль, 39%) выделяли в виде прозрачной пленки.  $^1\text{H}$ -ЯМР-спектр: 0.648 (3 Н, с, H18), 0.778 (3 Н, с, H19), 0.855 (6 Н, д, J 6.6, H26, H27), 0.927 (3 Н, д, J 6.6, H21), 3.446 (1 Н, м, H3), 4.836 (1 Н, м, H15), 7.180–7.550 (15 Н, м, тритил).

**3β-Трифенилметокси-15α-гексадеканоилокси-5α-холест-8(14)-ен (**XIV**).** Смесь тритилированного стерина (**XIII**) (125 мг, 0.2 мкмоль) и пальмитиновой кислоты (128 мг, 0.5 мкмоль) высушивали упариванием с безводными пиридином и толуолом, растворяли в 5 мл сухого толуола, прибавляли 0.5 мл (6.1 мкмоль) N-метилимидазола, вносили TPS (182 мг, 0.6 мкмоль), перемешивали 30 мин, затем смесь разбавляли 25 мл толуола, прибавляли 10 мл насыщенного раствора NaHCO<sub>3</sub>, толуольный раствор промывали насыщенным раствором Na<sub>2</sub>SO<sub>4</sub> (2 × 5 мл), сушили Na<sub>2</sub>SO<sub>4</sub> и упаривали. Остаток разделяли препаративной TCX в системе гексан–EtOAc (10 : 1). Соединение (**XIV**) (125 мг, 0.15 мкмоль, 74%) выделяли в виде бесцветной стеклообразной массы;  $^1\text{H}$ -ЯМР-спектр: 0.625 (3 Н, с, H18), 0.836 (д, J 6.6) и 0.840 (д, J 6.6) (6 Н, H26 и H27), 0.868 (3 Н, с, H19), 0.871 (3 Н, т, J 7.0, CH<sub>3</sub>, пальмитоил), 0.895 (3 Н, д, J 6.6, H21), 1.190–1.290 (ушир. с, CH<sub>2</sub>, пальмитоил), 3.420 (1 Н, м, 3 Н), 5.772 (1 Н, м, H15), 7.180–7.550 (15 Н, м, тритил).

**15α-Гексадеканоилокси-5α-холест-8(14)-ен-3β-ол (**XV**).** К смеси соединения (**XIV**) (85 мг, 100 мкмоль) и 5 мл 90% HCOOH по каплям прибавляли эфир до растворения осадка, раствор перемешивали 30 мин и упаривали досуха. Остаток разделяли препаративной TCX в системе гексан–ацетон (5 : 1). 15α-Гексадеканоилокси-5α-холест-8(14)-ен-3β-ол (**XV**) (51 мг, 85 мкмоль, 85%) выделяли в виде белой воскообразной пленки. Хроматографические характеристики см. в табл. 1,  $^1\text{H}$ -ЯМР спектр – в табл. 2.

**15β-Гексадеканоилокси-5α-холест-8(14)-ен-3-он (**IX**) и 15α-гексадеканоилокси-5α-холест-8(14)-ен-3-он (**XVI**).** Раствор пальмитата (**VIII**) или (**XV**) (27 мг, 50 мкмоль) в 5 мл CH<sub>2</sub>Cl<sub>2</sub> прибавляли к комплексу CrO<sub>3</sub>–Ру, приготовленному из 60 мг CrO<sub>3</sub> в 5 мл CH<sub>2</sub>Cl<sub>2</sub> [24]. Смесь перемешивали 2 ч, контролируя прохождение окисления по TCX, затем прибавляли 1 мл MeOH, через 15 мин к смеси прибавляли 1.0 г силикагеля и смесь упаривали досуха. Продукты реакции, адсорбированные на силикагеле, наносили на колонку (2.0 × 10 см) с сухим силикагелем, пальмитат кетостерина (**IX**) или (**XVI**) элюировали смесью толуол–EtOAc (4 : 1), растворитель упаривали, а продукт подвергали

дополнительной очистке препаративной ТСХ в системе гексан–ацетон (5 : 1). Соединения (**IX**) (20 мг, 36 мкмоль, 72%) и (**XVI**) (19 мг, 34 мкмоль, 68%) выделяли в виде белых воскообразных пленок. Хроматографические характеристики см. в табл. 1, спектры  $^1\text{H}$ -ЯМР – в табл. 2.

Работа выполнена при финансовой поддержке Российского фонда фундаментальных исследований (проект № 00-04-48643).

## СПИСОК ЛИТЕРАТУРЫ

1. Schroepfer G.J. // Physiol. Rew. 2000. V. 80. P. 361–554.
2. Schroepfer G.J., Kusic A., Izumi A., Wang K.-S., Carey K.D., Chu A.J. // J. Biol. Chem. 1988. V. 263. P. 4098–4109.
3. Schroepfer G.J., Chu A.J., Needlemann D.H., Izumi A., Nguen P.T., Wang K.-S., Little J.M., Sherrill B.C., Kusic A. // J. Biol. Chem. 1988. V. 263. P. 4110–4123.
4. Needlemann D.H., Strong K., Stemke K.A., Brabson J.A., Kusic A., Schroepfer G.J. // Biochem. Biophys. Res. Commun. 1987. V. 148. P. 920–925.
5. Schroepfer G.J., Christophe A., Needlemann D.H., Kusic A., Sherrill B.C. // Chem. Phys. Lipids. 1988. V. 48. P. 29–58.
6. Pinkerton F.D., Kirkpatrick N.D., Schroepfer G.J. // Biochem. Biophys. Res. Commun. 1988. V. 156. P. 689–694.
7. Herz J.E., Swaminathan S., Pinkerton F.D., Wilson W.K., Schroepfer G.J. // J. Lipid Res. 1992. V. 33. P. 579–598.
8. Swaminathan S., Pinkerton F.D., Numazawa S., Wilson W.K., Schroepfer G.J. // J. Lipid Res. 1992. V. 33. P. 1503–1515.
9. Misharin A.Yu., Alquier C., Steinschneider A.Ya., Malugin A.V., Lafont H. // Med. Chem. Res. 1995. V. 5. P. 409–416.
10. Мишарин А.Ю., Крылов А.С., Алки К., Лафон Ю., Штейнинейдер А.Я., Косых В.А., Морозкин А.Д. // Биоорган. химия. 1997. Т. 23. С. 297–303.
11. Kisileva A.F., Goryunova L.E., Medvedeva N.V., Morozkin A.D., Alquier C., Misharin A.Yu. // FEBS Lett. 1999. V. 446. P. 163–168.
12. Киселева А.Ф., Горюнова Л.Е., Медведева Н.В., Алки К., Мишарин А.Ю. // Биохимия. 1999. Т. 64. С. 456–463.
13. St. Pyrek J., Schroepfer G.J. // J. Lipid Res. 1987. V. 28. P. 1308–1312.
14. Мишарин А.Ю., Чернов Б.К. // Биоорган. химия. 1997. Т. 23. С. 675–679.
15. Stephens T.W., Schroepfer G.J. // Biochim. Biophys. Acta. 1989. V. 1001. P. 127–133.
16. Huffman J.W., Desai R.C. // Synth. Commun. 1983. V. 13. P. 553–556.
17. Hawryluk N.A., Snider B.B. // J. Org. Chem. 2000. V. 65. P. 8379–8380.
18. Schroepfer G.J., Parish E.J., Kandutsch A.A. // Biochem. Int. 1982. V. 4. P. 263–269.
19. Игнатов Д.В., Мишарин А.Ю. // Биоорган. химия. 2002. Т. 28. С. 191–192.
20. Parish E.J., Schroepfer G.J. // Tetrahedron Lett. 1976. V. 1976. P. 3775–3778.
21. Huntoon S., Fourcans B., Lutsky B.L., Parish E.J., Emery H., Knapp F.F., Schroepfer G.J. // J. Biol. Chem. 1978. V. 253. P. 775–782.
22. Wilson W.K., Wang K.-S., Kusic A., Schroepfer G.J. // Chem. Phys. Lipids. 1988. V. 48. P. 7–17.
23. Беликов О.Е., Штейнинейдер А.Я., Мишарин А.Ю. // Биоорган. химия. 1992. Т. 18. С. 1127–1130.
24. Физер Л., Физер М. Реагенты для органического синтеза. М.: Мир, 1978. Т. 7. С. 636–638.

## Palmitates of Isomeric 15-Oxygenated $\Delta^{8(14)}$ -Sterols

**D. V. Ignatov\*, Yu. I. Prokof'ev\*, V. P. Timofeev\*\*, and A. Yu. Misharin\*\***

\*E-mail: misharin@ibmh.msk.su

*Orekhovich Research Institute of Biomedical Chemistry, Russian Academy of Medical Sciences,  
Pogodinskaya ul. 10, Moscow, 119992 Russia*

\*\*Engelhardt Institute of Molecular Biology, Russian Academy of Sciences,  
ul. Vavilova 32, GSP Moscow, 117984 Russia

3 $\beta$ -Hexadecanoyloxy-5 $\alpha$ -cholest-8(14)-en-15-one, 3 $\alpha$ -hexadecanoyloxy-5 $\alpha$ -cholest-8(14)-en-15-one, 15 $\beta$ -hexadecanoyloxy-5 $\alpha$ -cholest-8(14)-en-3 $\beta$ -ol, 15 $\alpha$ -hexadecanoyloxy-5 $\alpha$ -cholest-8(14)-en-3 $\beta$ -ol, 15 $\beta$ -hexadecanoyloxy-5 $\alpha$ -cholest-8(14)-en-3-one, and 15 $\alpha$ -hexadecanoyloxy-5 $\alpha$ -cholest-8(14)-en-3-one were synthesized and their chromatographic and  $^1\text{H}$  NMR characteristics were determined. The English version of the paper: *Russian Journal of Bioorganic Chemistry*, 2004, vol. 30, no. 2; see also <http://www.maik.ru>.

*Key words:* oxysterol acyl derivatives, oxysterols